

四象體質別 上顔部 Moire 形態의 特徵에 관한 研究

홍석철** · 이의주* · 이수경* · 한기환* · 고병희* · 송일병*

A Morphological Study On The Upper Face Of Moire According To The Sasang Constitution

Hong Suck-chull · Lee Eui-ju · Lee Su-kyung · Han Gi-hwan · Kho Byung-hee · Song Il-byung

1. Objective : This research is a study about constitutional diagnosis through the external appearances. especially it is for finding shape differences of the upper-face pictures of moire, according to the Sasang constitution
2. Method : We have collected 98 cases of femail patients of the Sasang Constitutional Department, including employees of the Kyung-Hee Medical Center and took pictures of moire of upper face and measured 50 points. We analyzed shape differences of the upper face according to the Sasang constitution.
3. Results : Analysing the moire of upper face, the characteristics according to sasang constitution presented.
4. Conclusion : Soyangin had a projected part of left upper face compared with taeumin. With the image of moire, the characteristics of upper face according to sasang constitution was found.
5. Key word : Sasang constitution, Upper-face, Morphologic characteristics, Moire pictures.

* 경희대학교 한의과대학 사상의학과

** 세명대학교 한의과대학 사상의학과

※ 이논문은 1997년 고황의학학술연구비에 의하여 작성되었음

초 록

1. 연구목적 : 외형적 특징을 통한 사상체질진단을 연구하기 위한 목적이다. 상안부에 나타나는 등고선 영상을 분석하여 사상인별 형태학적 차이를 찾는데 있다.
2. 방법 : 1997년 11월부터 1998년 10월까지 경희의료원 부속한방병원 왜래환자 및 직원을 대상으로 설문지 및 임상적치료 경과를 통하여 체질적 경향성이 뚜렷한 여성을 대상으로 선별하였다. 이들을 동일촬영 조건을 통하여 얻은 등고선 영상사진등 형태특이자를 제외한 98례의 모아레 사진을 분석하여 50항목을 측정하고 70항목의 공식을 제작하여 사상인별 상이점을 도출하였다.
3. 결과 : 상안부 모아레 영상을 분석하여 체질에 따른 특징은 따로 도표로 제시한다.
4. 결론 : 소양인은 태음인에 비하여 좌측상안의 일부가 전방으로 돌출되었다. 모아레 영상을 이용하여 체질에 따른 상안부의 형태학적인 특징을 도출하였다.

중심단어 : 사상체질, 상안부, 형태학적 특징, 모아레사진

I. 緒 論

東武 李濟馬는 1894년 東醫壽世保元을 저술하여 四象醫學을 제창하였다. 사상의학은 체질에 따라 생리적인 특징과 병리적인 특징이 다르고 치료와 양생법이 서로 다르게 적용되는 것이 특징이다. 따라서 체질간의 차이를 구체화하는 연구는 사상의학의 발전적 측면에서 중요한 연구이다. 그간 다양하게 시도되어온 사상체질진단에 관한 研究^{10~28)}도 이러한 맥락에서 체질별 차이를 구체화하고 객관화하고자 하는 것이라 할 수 있다. 東武公이 제시한 體質辨證의 기준으로는 外形, 心性, 證(生理的, 病理的)등을 들 수 있다^{1,3-9)}. 본 연구는 사상체질에 따른 형태학적인 특징을 도출하여 체질진단의 지표로 활용하는데 그 목적을 두고 있으며, 등고선 사진을 이용하여 육안적으로 구별하기 어려운 上顔部表面形狀의 3차원적 형태를 체질별로 구별화하고자 하였다. 이러한 moire를 이용한 사상인별 상안부의 형태학적 특징에 관한 연구로는 高¹²⁾에 의한 연구와 洪²⁸⁾에 의한

연구가 있다. 전자는 상안부에서 나타난 등고선의 좌우 편향을 육안적으로 비교하였으며, 후자는 본 연구와 동일한 방법을 취하였으나 남녀를 구별하지 않고 이루어진 연구로서, 안면의 형태가 성별에 따른 차이가 있다고 사려되므로 금번 연구는 여성의 상안부를 중심으로 사상인별 차이점을 비교분석하고자 하였다.

II. 研究 方法

본 연구는 체질진단에 의하여 분류된 여성을 대상으로 사상인별 上顔部 등고선 사진을 분석하여 그 특징을 고찰한 것이다. 먼저 대상자의 체질진단은 설문지 및 임상적 관찰을 통하여 시행하였으며, 上顔에 대한 등고선 계측은 간접측정 방법인 사진영상에 의한 방법으로 하였다.

1. 연구재료의 수집

분포는 Table 1.에 제시하였다.

1) 연구재료의 수집

1997년 11월부터 1998년 10월까지 경희대학교 부속한방병원 사상학과에 내원한 외래환자 및 직원 200인을 1차분으로 수집하여 이중, 체질적 경향성이 모호한 자, 형태 특이자 등을 제외한 98인을 선정하였다.

Table 1. Distribution of Constitution

Constitution	Taeumin	Soeumin	Soyangin	Total
count	39 (39.8%)	27 (26.60%)	32 (33.6%)	98 (100%)

2) 연구대상자의 四象人 分布

본 연구를 위하여 수집한 연구대상자의 四象人別 분포는 태음인이 39명 39.8%로 가장 많았고, 소양인이 32명 33.6%, 소음인이 27명 26.6% 순이었으며, 태양인은 대상자를 찾을 수 없었다. 四象人別

3) 연구대상자의 四象人體別 年齡分布

體質에 따른 연령분포를 살펴 보면, 太陰人은 평균연령이 52세이었으며, 소음인은 47세, 소양인은 45세로서, 전체적으로는 50대가 29.6%로 가장 많았다. 연령별 사상인 분포는 Table 2. 에 제시하였다.

Table 2. Distribution of Age

Age	Constitution			Total
	Taeumin	Soeumin	Soyangin	
20 - 29	4 (44.0%) (10.2%)	2 (22.2%) (7.4%)	3 (33.3%) (9.4%)	9 (9.2%)
30 - 39	6 (35.3%) (15.4%)	5 (29.4%) (18.5%)	6 (35.3%) (18.8%)	17 (17.3%)
40 - 49	9 (39.1%) (23.1%)	6 (26.1%) (22.2%)	8 (34.8%) (25.0%)	23 (23.5%)
50 - 59	12 (41.4%) (30.1%)	8 (27.6%) (29.6%)	9 (31.0%) (28.1%)	29 (29.6%)
60 - 69	6 (40.0%) (15.4%)	4 (26.7%) (14.8%)	5 (33.3%) (15.6%)	15 (15.4%)
70 - 79	2 (40.0%) (5.1%)	2 (40.0%) (7.4%)	1 (20.0%) (3.1%)	5 (5.2%)
count	39(39.8 %)	27(26.6 %)	32(33.6 %)	98(100 %)

2. 체질진단방법, 촬영방법 및 측정방법

1) 체질진단방법

體質診斷을 위하여 四象體質 설문지²⁰⁾ 및 QSCC에 의한 사상체질분류진단^{16,22)} Computer program에 의한 사상체질진단¹⁷⁾과 藥診 및 針診²⁾ 등 임상적 검증을 통한 사상체질진단 등을 거쳐 사상의학을 전공한 전문의의 판정에 의하여 體質을 분류하였다.

2) 촬영방법

三次元的 最적의 頭顔部 映像을 얻어 비교 분석하기 위하여 촬영방법을 同一化하여 표준화된 조건을 정할 필요가 있다. 따라서 외부의 빛을 차단할 수 있는 촬영실을 만들고, 피사체와 카메라간의 거리 및 방향 설정, 노출정도, 셔터타임 등을 다양하게 만들어 비교 분석하여 측정에 필요한 최적조건을 선정, 표준화하여 시행하였다.

- ① 촬영거리 및 각도와 기법 : 피사체와 182cm의 거리에서 정면 moire영상을 촬영하였다. 촬영시 피검자의 頭顔部를 耳眼水平線에 맞추었다.
- ② 촬영조건 : 셔터시간 1/30초, 노출4.25, 500w의 조명을 182cm에서 조명을 설치하였고 외부의 빛을 차단하였다.
- ③ 촬영용 카메라는 니콘 FM2 105mm 망원렌즈를 장착하여 사용하였다.
- ④ 촬영용 moire slit는 縱으로 1.5mm의 검은색 금속선을 사용하여 실제의 등고 간격이 2mm가 되도록 하였다.

3) 측정방법 및 측정점

(1) 측정방법

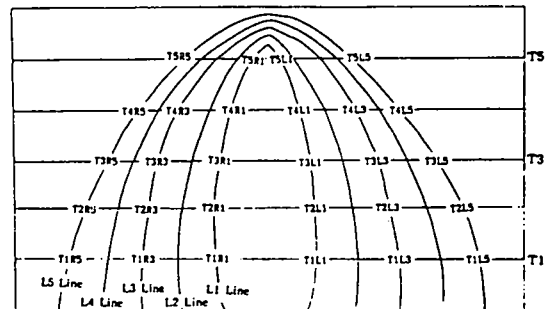
측정은 확대한 사진상을 이용한 간접측정을 원칙으로 했다.

寫眞像의 측정은 일본계 노기스(Mitutoyo, DIGI-MATIC, Japan)를 사용하고, 10분의 1mm까지의 정밀도를 지키고자 노력했다.

(2) 측정점의 설정, 측정항목

① 측정점의 설정법

사진상의 上顔部를 구획하여 측정점을 설정함에 있어서 洪²⁸⁾의 방법을 사용하였다. 즉 상안부의 범위를 고경부분은 발제부위에서 미간부까지로 하며, 폭경부는 좌우의 전액폭의 사이로 설정하였다. 여기에 가상의 선을 긋고자 횡선의 하단 및 종선의 중심을 미간점에 두었다. 이를 기준선으로 일정한 거리에 선을 그어야 하므로, 이 거리의 설정은 각 대상자의 좌우 동공점간 폭을 6등분한 거리를 구하여 전체 上顔部를 구획하였다.



〈Fig. 1〉 상안부 등고선 측정점

② 측정항목

측정항목 및 공식의 설정 역시 洪²⁸⁾의 방법을 사용하였다. 우선 眉間點을 횡단하는 제1선을 T1, 다

음 선을 T2, T3, T4, T5의 5개의 橫線을 긋고 이들과 moire선이 만나는 점의 횡측 좌표를 측정하기 위하여 中間점을 지나는 縱線인 V0를 긋고 이를 기준으로 인체의 좌측 상안에 동일한 거리마다 V1, V2, V3, V4, V5의 縱線을 그어 설정하였고, 상안의 우측 제1선은 V-1, V-2, V-3, V-4, V-5로 설정하였다. 또한 발생하는 moire 선중 가장 중심으로부터 가까운 것을 L1, L2, L3, L4, L5로 설정하였다. 따라서 5개의 moire선과 橫적 勾획선이 만나는 50개의 점을 설정하여 측정하였다.(Fig 1. 참조) 또한 이들 항목을 이용하여 좌우의 편차 및 이윅한 moire 선과의 거리를 구하고자 數式 70항목을 설정하여 분석하였다.

측정점

- T1R5 = L5와 T1 勾획선이 만나는 上顔部의 右측 지점의 측정값.
- T1R4 = L4와 T1 勾획선이 만나는 上顔部의 右측 지점의 측정값.
- T1R3 = L3와 T1 勾획선이 만나는 上顔部의 右측 지점의 측정값.
- T1R2 = L2와 T1 勾획선이 만나는 上顔部의 右측 지점의 측정값.
- T1R1 = L1와 T1 勾획선이 만나는 上顔部의 右측 지점의 측정값.
- T1L1 = L1와 T1 勾획선이 만나는 上顔部의 左측 지점의 측정값.
- T1L2 = L2와 T1 勾획선이 만나는 上顔部의 左측 지점의 측정값.
- T1L3 = L3와 T1 勾획선이 만나는 上顔部의 左측 지점의 측정값.
- T1L4 = L4와 T1 勾획선이 만나는 上顔部의 左측 지점의 측정값.
- T1L5 = L5와 T1 勾획선이 만나는 上顔部의 左측 지점의 측정값.
- T2R5 = L5와 T2 勾획선이 만나는 上顔部의 右측 지점의 측정값.
- T2R4 = L4와 T2 勾획선이 만나는 上顔部의 右측 지점의 측정값.
- T2R3 = L3와 T2 勾획선이 만나는 上顔部의 右측 지점의 측정값.
- T2R2 = L2와 T2 勾획선이 만나는 上顔部의 右측 지점의 측정값.
- T2R1 = L1와 T2 勾획선이 만나는 上顔部의 右측 지점의 측정값.
- T2L1 = L1와 T2 勾획선이 만나는 上顔部의 左측 지점의 측정값.
- T2L2 = L2와 T2 勾획선이 만나는 上顔部의 左측 지점의 측정값.
- T2L3 = L3와 T2 勾획선이 만나는 上顔部의 左측 지점의 측정값.
- T1R59 = L4와 T2 勾획선이 만나는 上顔部의 右측 지점의 측정값.
- T2L5 = L5와 T2 勾획선이 만나는 上顔部의 左측 지점의 측정값.
- T3R5 = L5와 T3 勾획선이 만나는 上顔部의 右측 지점의 측정값.
- T3R4 = L4와 T3 勾획선이 만나는 上顔部의 右측 지점의 측정값.
- T3R3 = L3와 T3 勾획선이 만나는 上顔部의 右측 지점의 측정값.
- T3R2 = L2와 T3 勾획선이 만나는 上顔部의 右측 지점의 측정값.
- T3R1 = L1와 T3 勾획선이 만나는 上顔部의 右측 지점의 측정값.
- T3L1 = L1와 T3 勾획선이 만나는 上顔部의 左측 지점의 측정값.

측 지점의 측정값.
 T3L2 = L2와 T3 구획선이 만나는 上顔部の 좌측 지점의 측정값.
 T3L3 = L3와 T3 구획선이 만나는 上顔部の 좌측 지점의 측정값.
 T3L4 = L4 T3 구획선이 만나는 上顔部の 좌측 지점의 측정값.
 T3L5 = L5와 T3 구획선이 만나는 上顔部の 좌측 지점의 측정값.
 T4R5 = L5와 T4 구획선이 만나는 上顔部の 우측 지점의 측정값.
 T4R4 = L4와 T4 구획선이 만나는 上顔部的 우측 지점의 측정값.
 T4R3 = L3와 T4 구획선이 만나는 上顔部的 우측 지점의 측정값.
 T4R2 = L2와 T4 구획선이 만나는 上顔部的 우측 지점의 측정값.
 T4R1 = L1와 T4 구획선이 만나는 上顔部的 우측 지점의 측정값.
 T4L1 = L1와 T4 구획선이 만나는 上顔部的 좌측 지점의 측정값.
 T4L2 = L2와 T4 구획선이 만나는 上顔部的 좌측 지점의 측정값.
 T4L3 = L3와 T4 구획선이 만나는 上顔部的 좌측 지점의 측정값.
 T4L4 = L4와 T4 구획선이 만나는 上顔部的 좌측 지점의 측정값.
 T4L5 = L5와 T4 구획선이 만나는 上顔部的 좌측 지점의 측정값.
 T5R5 = L5와 T5 구획선이 만나는 上顔部的 우측 지점의 측정값.
 T5R4 = L4와 T5 구획선이 만나는 上顔部的 우측 지점의 측정값.

T5R3 = L3와 T5 구획선이 만나는 上顔部的 우측 지점의 측정값.
 T5R2 = L2와 T5 구획선이 만나는 上顔部的 우측 지점의 측정값.
 T5R1 = L1와 T5 구획선이 만나는 上顔部的 우측 지점의 측정값.
 T5L1 = L1와 T5 구획선이 만나는 上顔部的 좌측 지점의 측정값.
 T5L2 = L2와 T5 구획선이 만나는 上顔部的 좌측 지점의 측정값.
 T5L3 = L3와 T5 구획선이 만나는 上顔部的 좌측 지점의 측정값.
 T5L4 = L4와 T5 구획선이 만나는 上顔部的 좌측 지점의 측정값.
 T5L5 = L5와 T5 구획선이 만나는 上顔部的 좌측 지점의 측정값.

수식

X51=T1R5-T1L5	X52=T1R4-T1L4
X53=T1R3-T1L3	X54=T1R2-T1L2
X55=T1R1-T1L1	X56=T2R5-T2L5
X57=T2R4-T2L4	X58=T2R3-T2L3
X59=T2R2-T2L2	X60=T2R1-T2L1
X61=T3R5-T4L5	X62=T3R4-T4L4
X63=T3R3-T4L3	X64=T3R2-T3L2
X65=T3R1-T3L1	X66=T3R5-T3L5
X67=T4R4-T4L4	X68=T4R3-T4L3
X69=T4R2-T4L2	X70=T4R1-T4L1
X71=T5R5-T5L5	X72=T5R4-T5L4
X73=T5R3-T5L3	X74=T5R2-T5L2
X75=T5R1-T5L1	X76=T1L5-T1L4
X77=T1L4-T1L3	X78=T1L3-T1L2
X79=T1L2-T1L1	X80=T1R5-T1R4

X81=T1R4-T1R3	X82=T1R3-T1R2
X83=T1R2-T1R1	X84=T1R1+T1L1
X85=T2R5-T2R4	X86=T2R4-T2R3
X87=T2R3-T2R2	X88=T2R2-T2R1
X89=T2L5-T2L4	X90=T2L4-T2L3
X91=T2L3-T2L2	X92=T2L2-T2L1
X93=T2R1+T2L1	X94=T3R5-T3R4
X95=T3R4-T3R3	X96=T3R3-T3R2
X97=T3R2-T3R1	X98=T3L5-T3L4
X99=T3L4-T3L3	X100=T3L3-T3L2
X101=T3L2-T3L1	X102=T3R1+T3L1
X103=T4R5-T4R4	X104=T4R4-T4R3
X105=T4R3-T4R2	X106=T4R2-T4R1
X107=T4L5-T4L4	X108=T4L4-T4L3
X109=T4L3-T4L2	X110=T4L2-T4L1
X111=T4R1+T4L1	X112=T5R5-T5R4
X113=T5R4-T5R3	X114=T5R3-T5R2
X115=T5R2-T5R1	X116=T5L5-T5L4
X117=T5L4-T5L3	X118=T5L3-T5L2
X119=T5L2-T5L1	X120=T5R1+T5L1

3. 통계 및 분석

피검자의 體質診斷 결과와 上顔部의 계측에 적절한 98예를 SAS 6.12판 통계 프로그램으로 처리하였다. 체질별 수치의 비교는 ANOVA 검정을 하였다.

Ⅲ. 結果 및 考察

1. 결 과

저자는 四象人과 上顔部 形態와 상관관계를 정량

적으로 찾아보기 위하여 등고선을 표준화하고 이를 통하여 연구 대상자들의 안면에 대하여 생체계측학적 연구를 시행하여 다음과 같은 결과를 얻었다. 연구 분석된 항목중 유의성이 있는 항목만 제시하였다.

1) 각 체질집단에 따른 항목별 계측치의 변량분석

사상인별 유의성 있는 차이를 나타낸 측정항목은 다음과 같다.(Table 3. 참조)

- T1L4은 소양인이 태음인에 비하여 돌출된 것으로 나타났다.(P<0.05)
- T1L5는 소양인이 태음인에 비하여 돌출된 것으로 나타났다.(P<0.01)
- T2L3은 소양인이 태음인에 비하여 돌출된 것으로 나타났다.(P<0.01)
- T2L4는 소양인이 태음인에 비하여 돌출된 것으로 나타났다.(P<0.01)
- T2L5는 소양인이 태음인에 비하여 돌출된 것으로 나타났다.(P<0.001)
- T3L1은 소양인이 태음인에 비하여 돌출된 것으로 나타났다.(P<0.05)
- T3L3은 소양인이 태음인에 비하여 돌출된 것으로 나타났다.(P<0.05)
- T3L4는 소양인이 태음인에 비하여 돌출된 것으로 나타났다.(P<0.01)
- T3L5는 소양인이 태음인에 비하여 돌출된 것으로 나타났다.(P<0.01)
- T4L5는 소양인이 태음인에 비하여 돌출된 것으로 나타났다.(P<0.05)

Table 3. The Measurements moire of upper face

Unit : 倍

Variables Group	Taeumin (39)a	Soeumin (27)	Soyangin (32)	F-Ratio	Scheffe' Verification
T1L4	4.46±0.41	4.53±0.38	4.84±0.45	4.53*	Soyangin > Taeumin
T1L5	4.81±0.43	4.93±0.44	5.23±0.43	5.24**	Soyangin > Taeumin
T2L3	3.48±0.31b)	3.66±0.34	3.82±0.36	5.79**	Soyangin > Taeumin
T2L4	3.97±0.29	4.21±0.34	4.30±0.32	6.82**	Soyangin > Taeumin
T2L5	4.38±0.26	4.63±0.38	4.75±0.34	8.18***	Soyangin > Taeumin
T3L1	0.52±0.80	1.43±0.83	1.04±0.95	6.27**	Soyangin > Taeumin
T3L3	2.92±0.42	3.23±0.40	3.25±0.44	4.35*	Soyangin > Taeumin
T3L4	3.46±0.31	3.73±0.33	3.76±0.39	5.54**	Soyangin > Taeumin
T3L5	3.89±0.31	4.27±0.48	4.25±0.40	7.27**	Soyangin > Taeumin
T4L5	3.32±0.43	3.73±0.49	3.60±0.61	4.08*	Soyangin > Taeumin

a) : frequency b) : Mean±SD.

* : Statistically significant compared with group data

(* : p<0.05, ** : p<0.01 and *** : p<0.001)

2) 각 체질집단에 따른 계측방정식의 변량분석

① 동일횡단선과 동일 등고선이 만나는 우측과 좌측의 좌표 합계에 따른 변량 분석

T3R1(우측)과 T3L1(좌측)의 합계는 소음인이 태음인에 비하여 돌출된 것으로 나타났다 (P<0.05)

② 인접 등고선 사이의 편차에 따른 변량분석

T3L2(좌측)와 T3L1(좌측)의 편차는 소음인이 태음인에 비하여 돌출된 것으로 나타났다 (P<0.05)

T5L2(좌측)와 T5L1(좌측)의 편차는 소양인이 태음인에 비하여 돌출된 것으로 나타났다 (P<0.05)

Table 4. The Composition Ratio of upper face

Unit : 倍

Variables Group	Taeumin (39)a)	Soeumin (27)	Soyangin (32)	F-Ratio	Scheffe' Verification
T3L2-T3L1	1.59±0.67b)	2.57±1.63	1.97±1.71	3.47*	Soeumin > Taeumin
T3R1+T3L1	1.08±1.68	2.57±1.63	1.97±1.71	4.42*	Soeumin > Taeumin
T3R1+T3L1	0.03±0.17	0.36±0.73	0.46±0.93	3.19*	Soyangin > Taeumin

a) : frequency b) : Mean±SD.

* : Statistically significant compared with group data (* : p<0.05)

2. 고 찰

高¹²⁾는 上顔部 등고선의 좌우편향을 육안적으로 관찰하여 체질별 경향성을 제시하였으며, 洪²⁸⁾은 상안부를 등분 구획하여 이를 계량화하는 방법론을 제시하고 사상인별로 비교한 결과 소양인의 좌측 이마가 태음인에 비하여 돌출된 경향성이 있음을 보고하였다. 본 논문은 洪²⁸⁾의 상안부 구획법 및 분석법을 이용하였다. 다만 상기 논문이 性別을 구별하지 아니하고 체질별로 분석하였다면 본 논문은 남녀중 여성만을 선별하여 사상인별 형태학적 차이를 비교 분석하였다.

上顔部에 등분된 종횡의 구획을 정하고 중앙으로부터 발생하는 5개의 등고선을 취하였다. 이 등고선과 횡단면이 만나는 좌표를 구한 후 四象人에 따라 분석하였다. 또한 上顔部는 좌우가 닮은 꼴이지만 형태학적인 차이가 나타나므로 이를 비교하기 위하여 좌우의 동일지점의 좌표를 비교하였다. 또한 인접되는 등고선과의 관계를 비교하고자 이들 사이의 비교를 하였다.

동일 횡단면 동일 등고선 좌표가 만나는 측정점의 사상인별 비교를 하여본 결과 T1L4, T1L5, T2L3,

T2L4, T2L5, T3L1, T3L3, T3L4, T3L5, T4L5 등의 측정점에서 소양인이 태음인에 비하여 돌출된 결과를 나타내었다. 이들은 모두 좌측의 이마에 존재하는 측정점이다. 따라서 이러한 결과로 보아 소양인의 좌측 이마는 태음인에 비하여 돌출된 경향을 가지고 있다는 결과가 나타났다. 이 결과는 高¹²⁾의 결과 및 洪²⁸⁾의 결과와 다소 일치점을 나타내고 있다. 즉 소양인은 태음인에 비하여 좌측 상안의 일부 부분에서 돌출된 특징을 나타내고 있음을 알 수 있다.

동일 등고선이 동일 횡단면과 만나는 점으로 두점이 존재한다. 이들 두점사이를 비교하면 사상인별 이마의 좌우 돌출과 함몰의 편차를 알 수 있다. 이를 비교한 결과 T3R1(우측)과 T3L1(좌측)을 합한 결과 소음인은 태음인에 비하여 우세하게 나타나고 있다.(Table 4.) 이는 소음인이 태음인에 비하여 T3 Line과 L1 Line이 만나는 상안의 중앙 부위에서 완만한 경사를 이루고 있으며 태음인은 급경사가 이루어 짐을 알 수 있다.

동일 횡선에서 이웃한 등고선 간의 차이를 도출하여 분석한 결과 T3 Line의 좌측 L1과 L2사이의 거리는 소음인이 태음인에 비하여 넓은 것으로 나타

나서 소음인은 이 부위에서 태음인에 비하여 완만한 경사를 이루고 있음을 알 수 있으며, T5 Line의 L1과 L2사이의 거리는 소양인이 태음인에 비하여 높은 수치를 나타내서 이 부위에서 소양인은 태음인에 비하여 완만한 경사를 이루고 있음을 알 수 있다.(Fig 1. 참조)

IV. 결 론

본 연구는 체질진단 지표를 객관화하고자 하는 연구의 일환이다. 체질진단지표의 하나인 외형 중 상안부 등고선 형태를 사상인별로 분석하였다. 여성 대상자 98명(태음인 39명, 소양인 27명, 소음인 32명)의 上顔部에 나타나는 등고선의 형태를 계량화하여 ① 각 측정점의 체질별 비교 ② 동일횡단선 상 동일 등고선의 좌우편차 혹은 합 및 인접한 등고선 편차의 체질별 비교 등을 분석하여 다음과 같은 결론을 얻었다.

1. 동일 좌표에서 사상인별 분석 결과

소양인은 T1L4, T1L5, T2L3, T2L4, T2L5, T3L1, T3L3, T3L4, T3L5, T4L5 등 부위에서 태음인에 비하여 전방으로 돌출되어 나타났다. 이 부위는 모두 좌측 상안에 해당된다.

2. 동일횡단선상의 동일 등고선의 좌우 합 및 인접한 등고선간 편차의 사상인별 분석 결과

- ① T3 Line의 1번 등고선이 만나는 좌측 및 우측의 두 지점의 사이는 소음인이 태음인에 비하여 넓다.
- ② T3 Line의 좌측의 1번 등고선과 2번 등고선

사이의 소음인이 태음인에 비하여 넓다.

- ② T5 Line의 좌측의 1번 등고선과 2번 등고선 사이는 소양인이 태음인에 비하여 넓다.

참 고 문 헌

1. 宋一炳 : 알기쉬운 四象醫學, 서울, 하나미디어 : 34, 1993.
2. 李炳幸 : 針道遠流重磨, 서울, 杏林書院 : 347-348, 1974.
3. 李濟馬 : 東醫壽世保元, 서울, 杏林書院 : 94-95, 1963.
4. 박석언 : 東醫四象大典, 서울, 醫道韓國社 : 368-380, 1977.
5. 全國韓醫科大學 四象醫學教室 : 四象醫學, 서울, 集文堂 : 120-124, 1997.
6. 中國沿邊朝鮮民族醫學研究所 : 朝鮮民族四象醫學, 서울, 麗江出版社, : 54-64, 1991.
7. 韓東錫 : 東醫壽世保元註釋, 서울, 性理會出版社 : 347-354, 1967.
8. 洪淳用, 李乙浩 : 四象醫學原論, 서울, 杏林出版社 : 133-142, 1985.
9. 洪淳用 : 四象診療保元, 서울, 書苑堂 : 98-109, 1991.
10. 高炳熙, 宋一炳 : 四象體質辨證에 對한 小考, 大韓韓醫學會誌, 6(1) : 40-47, 1985.
11. 高炳熙, 宋一炳 : 四象體質辨證 方法論 研究 (第二報), 大韓韓醫學會誌, 8(1) : 139-160, 1987.
12. 高炳熙, 趙鏞珍, 崔昌錫, 洪錫喆, 金鍾原, 李義柱, 李相龍, 徐靜淑, 宋一炳 : 四象體質別 頭面部的 形態學的 特徵, 四象醫學會誌, 8(1)

- : 101-186, 1996.
13. 權英植 : 四象體質鑑別法에 대하여, 醫林 97호, 醫林社 : 15-20, 1973.
 14. 金達來 : 設問誌를 이용한 體質鑑別方法의 信賴度에 관한 研究, 四象醫學會誌, 6(1) : 89-94, 1994.
 15. 金善豪, 高炳熙, 宋一炳 : 四象體質分類檢査(QSCC)의 妥當化研究, 四象醫學會誌, 5(1) : 61-80, 1993.
 16. 金善豪, 高炳熙, 宋一炳 : 四象體質分類檢査紙(QSCCⅡ)의 標準化 研究, 四象醫學會誌, 8(1) : 247-294, 1996.
 17. 金樹凡 : 四象體質鑑別을 爲한 專門家 시스템의 知識베이스 構築을 爲한 研究, 慶熙大學校 大學院, 1990.
 18. 金鍾元, 高炳熙, 宋一炳 : EAV의 測定値와 四象體質類型 및 中風과의 相關性에 관한 研究, 四象醫學會誌, 7(2) : 59-88, 1995.
 19. 梁基相 : 類型體質鑑別의 免疫血清學的 研究, 서울, 慶熙韓醫大論文集, 6(1):33-45, 1983.
 20. 李義柱, 高炳熙, 宋一炳 : 四象辨證內容 設問調查紙(Ⅰ)의 妥當化 研究, 四象醫學會誌, 7(2) : 89-100, 1995.
 21. 李廷燦, 高炳熙, 宋一炳 : 四象體質分類檢査의 準據妥當化 研究(性格要因檢査-16PF-와의 比較分析), 四象醫學會誌, 5(1): 81-98, 1993.
 22. 李廷燦, 高炳熙, 宋一炳 : 四象體質分類檢査紙(QSCCⅡ)의 妥當化 研究, 四象醫學會誌, 8(1) : 247-294, 1996.
 23. 章世圭 : 四象體質分類檢査(QSCC) 評價方法의 妥當性 研究, 慶熙大學校 大學院 碩士學位論文, 1994.
 24. 조동욱, 이창수, 고병희, 홍석철, 이의주, 조항성 : 四象醫學의 客觀化를 위한 遺傳的 分析 研究, 韓國韓醫學研究所論文集 2(1) : 402-406, 1996.
 25. 韓周錫, 宋一炳 : EAV의 測定치와 病證類型과의 相關性에 관한 研究, 內科學會誌, 15(1) : 383-415, 1994.
 26. 許萬會, 宋正模, 金達來, 高炳熙 : 四象人の 形態學的 圖式化에 관한 研究, 四象醫學會誌 4(1), 107-148 : 1992.
 27. 洪錫喆 : 東醫壽世保元에 나타난 體質別 脈狀과 脈診器에 의한 體質別 脈波의 比較, 大韓脈診學會誌, 1(1) : 79-100, 1995.
 28. 洪錫喆, 이수경, 송일병 : 四象體質別 上顏部의 形態學的 研究, 四象醫學會誌 10(1), 161-170 : 1998.